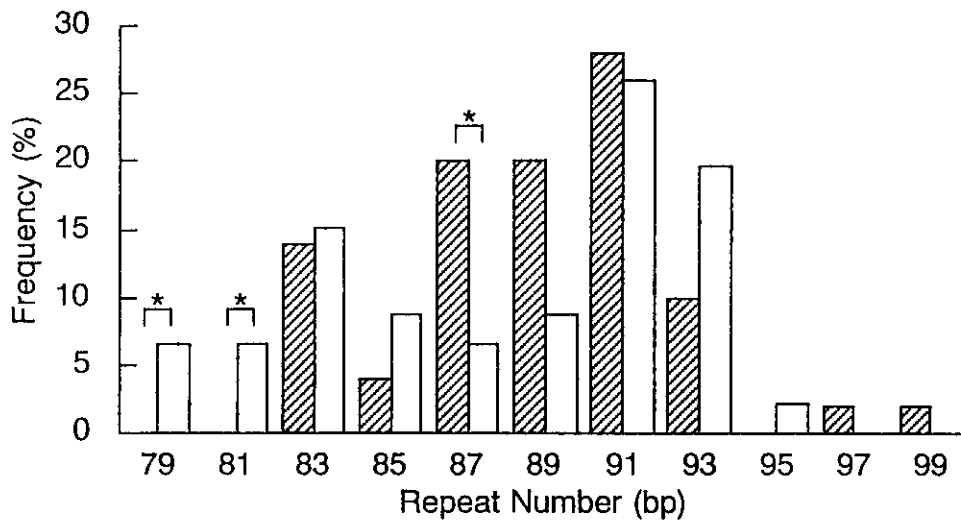
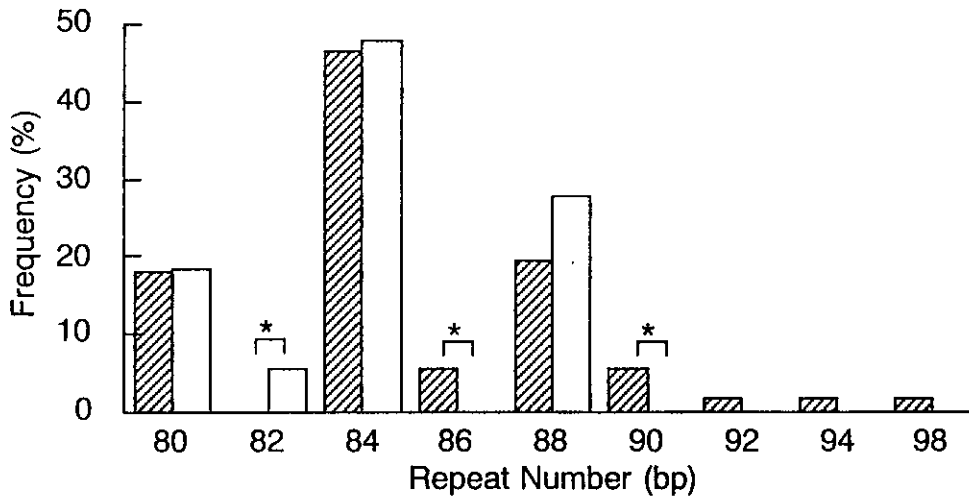


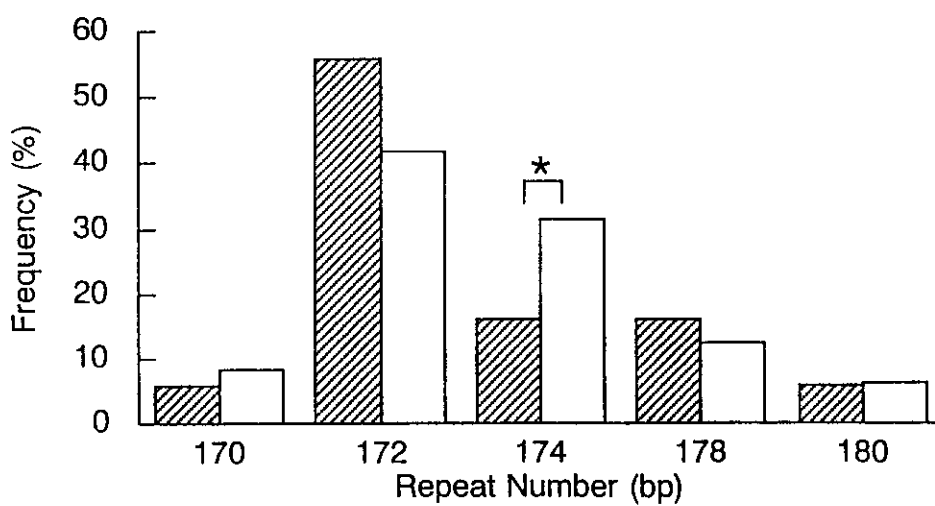
(g) D19S420



(h) D19S418



(i) D19S210

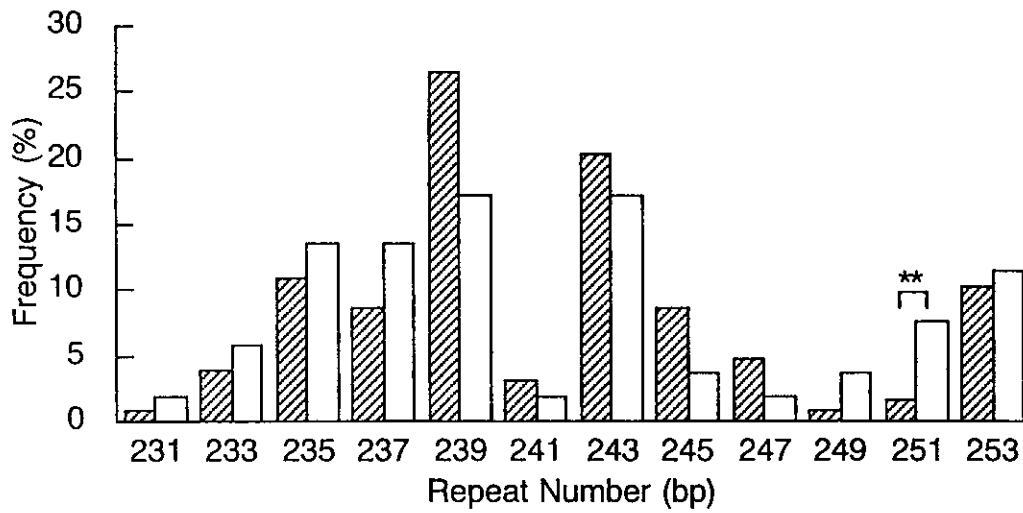


Slash bars, EPS+; white bars, EPS-.

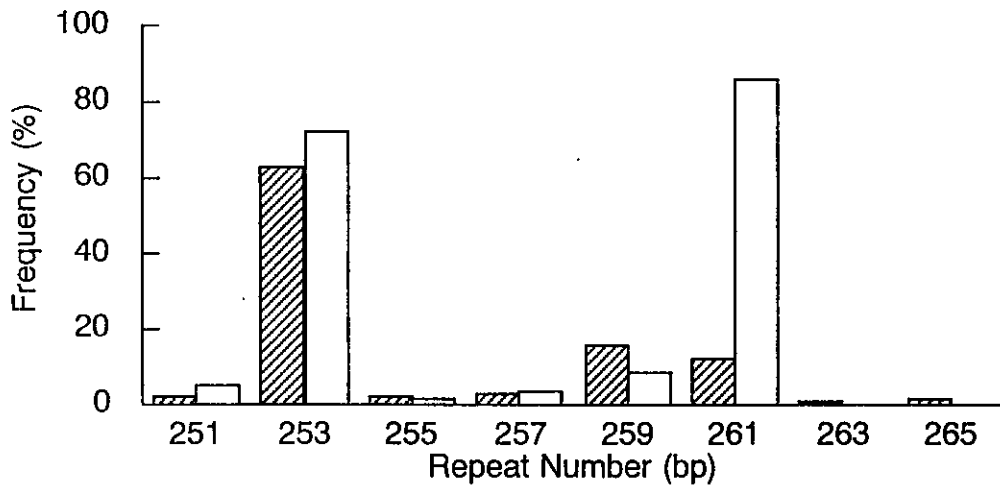
Asterrisks denote the difference in the specific allele frequency between the groups. *, $p < 0.1$; **, $p < 0.05$.

Figure8. Distribution of the allele frequency of Chromosome 19 microsatellite markers in patients with TD and non-TD.

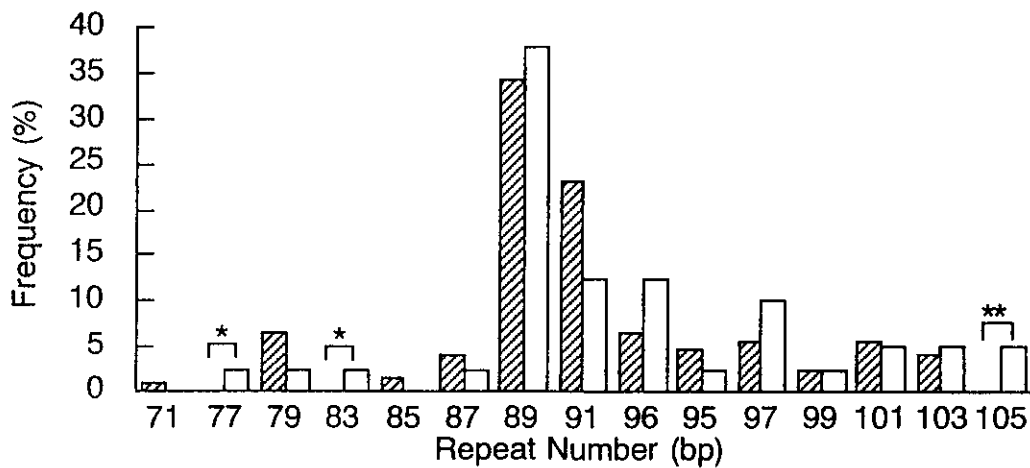
(a) D19S209



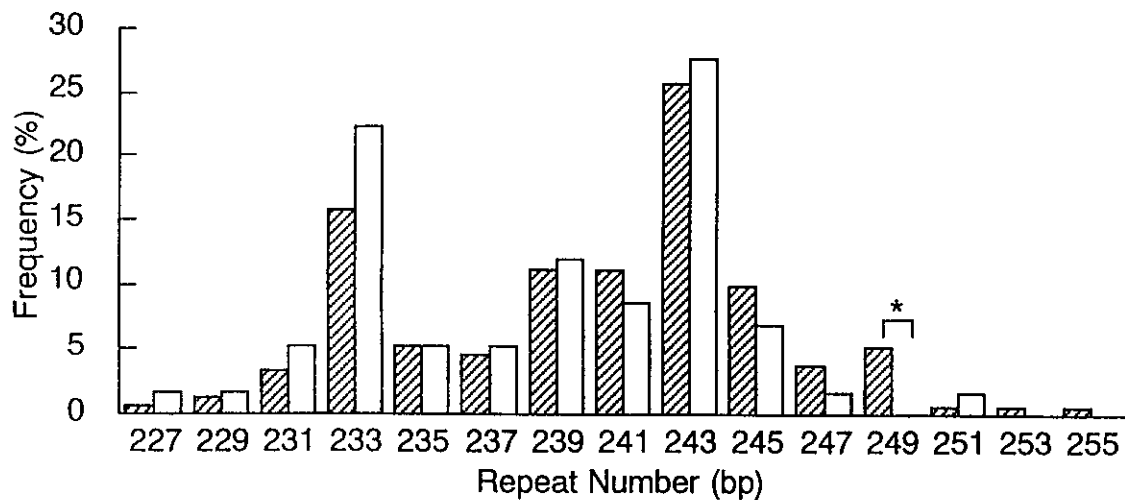
(b) D19S216



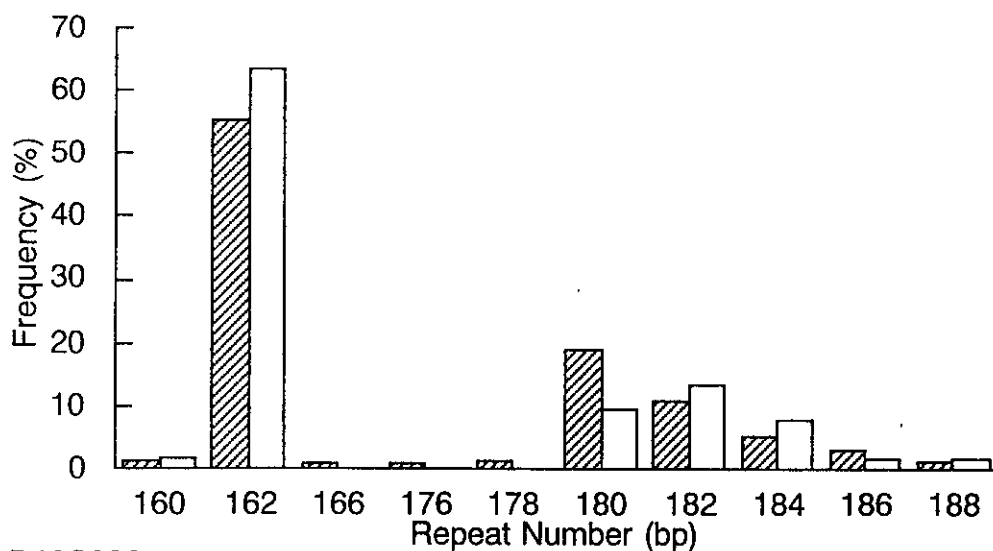
(c) D19S221



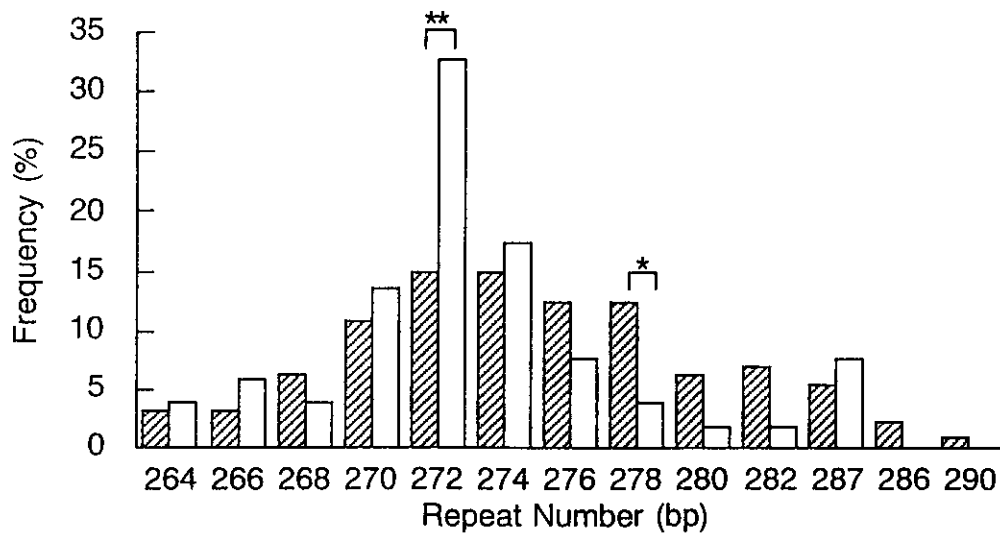
(d) D19S226



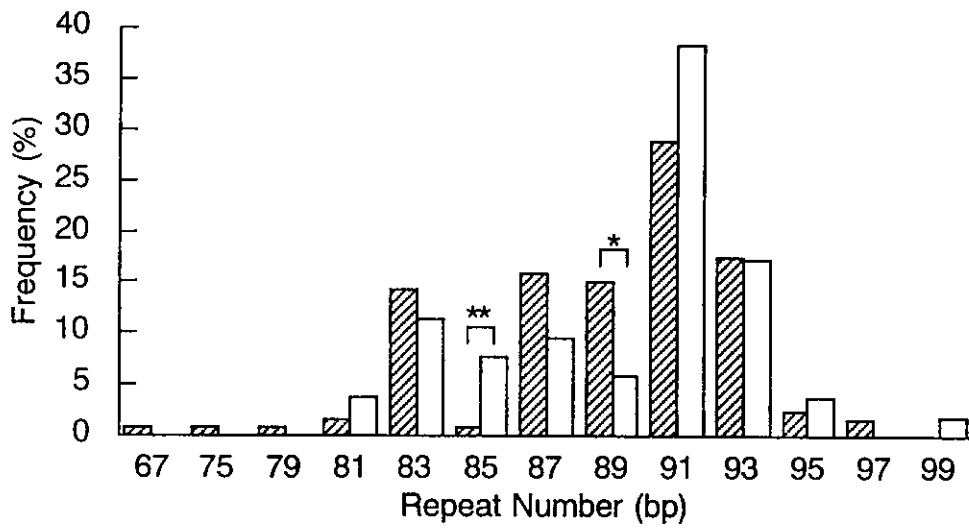
(e) D19S414



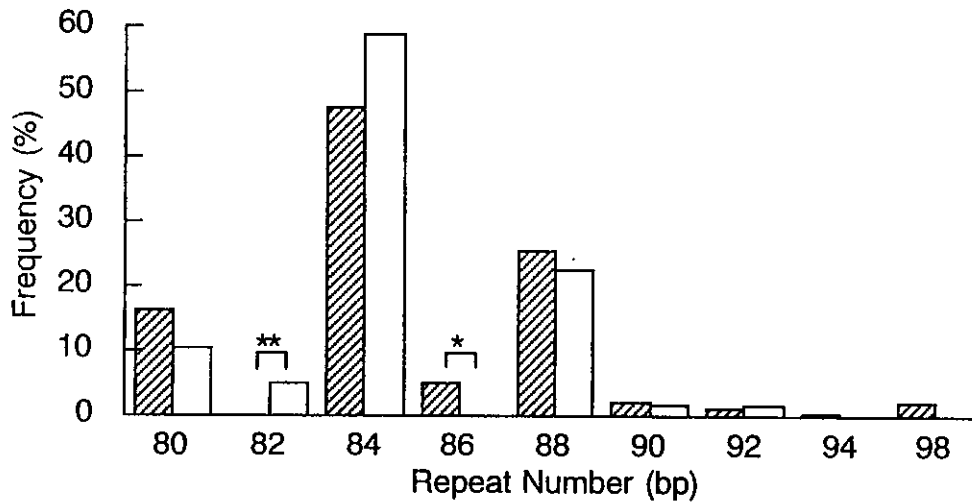
(f) D19S220



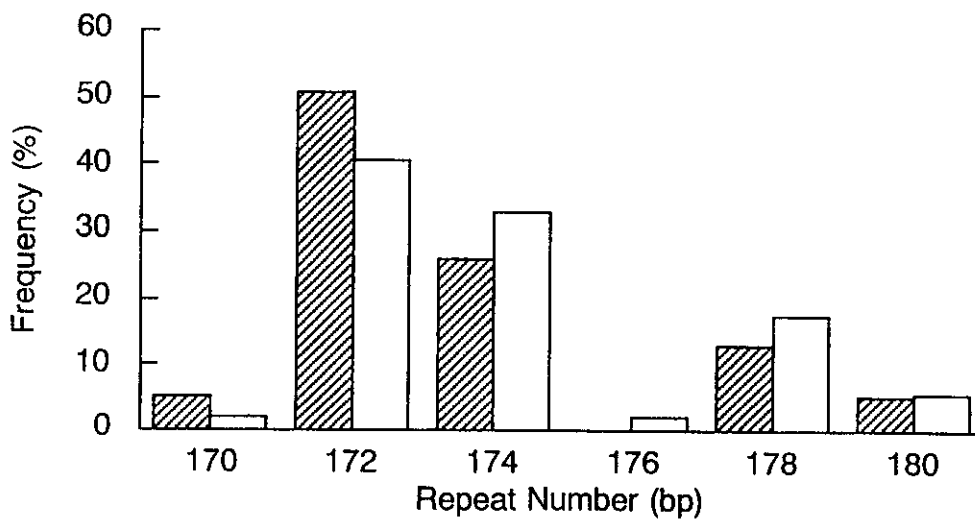
(g) D19S420



(h) D19S418



(i) D19S210



Slash bars, TD+; white bars, TD-.

Asterrisks denote the difference in the specific allele frequency between the groups. *, $p < 0.1$; **, $p < 0.05$.

平成10年度厚生科学研究費補助金（厚生科学特別研究事業）

葉原性錐体外路症状の診断技術の確立およびその予防に関する疫学的・文意遺伝学的研究

発行日 1999年4月7日

発行者 稲田 俊也

発行所 国立精神・神経センター精神保健研究所

〒272-0827 千葉県市川市国府台 1-7-3

TEL 047-372-0141

FAX 047-371-2900
